

И.С.Ахмедьянов, В.В.Горбатенко

ИССЛЕДОВАНИЕ НАПРЯЖЕНИИ В СФЕРИЧЕСКОЙ ОБОЛОЧКЕ,  
НАГРУЖЕННОЙ ЧЕРЕЗ ЭКСЦЕНТРИЧНО РАСПОЛОЖЕННУЮ ЖЕСТКУЮ ШАЙБУ

В работе [1] рассматривалась задача о напряженном и деформированном состоянии сферической оболочки, нагруженной силой и моментом, передающимися на нее через эксцентрично впаенную жесткую круглую шайбу (рис. 1). Были получены рас-

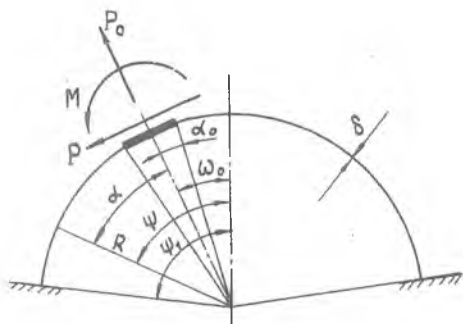


Рис. 1

четные формулы для вычисления напряжений и перемещений и записаны граничные условия для случая жесткого защемления нижнего края оболочки. Эти условия, ввиду непараллельности плоскостей шайбы и опорной параллели оболочки, свелись к бесконечной системе линейных алгебраических уравнений относительно произвольных постоянных интегрирования.

Ниже предлагается способ упрощения этой системы уравнений и приводятся результаты численных расчетов.

I. В бесконечной системе уравнений, описывающих условия закрепления оболочки по нижнему краю  $\psi = \psi_1 [I]$ , неизвестными являются три группы постоянных:  $C_k, D_k (k \geq 2), C_k^*, D_k^* (k \geq 0)$  и  $C_{1n}, D_{1n} (n \geq 0)$ . Такое большое количество неизвестных создает серьезные трудности при решении системы.

Имеется возможность значительно упростить задачу, выразив значения  $C_k, D_k, C_k^*, D_k^*$  через  $C_{2k}, D_{2k} (k \geq 2)$ , используя условия сопряжения оболочки с жесткой шайбой  $[I]$ :

$$C_k F_k - D_k y_k + C_k^* F_k^* + D_k^* y_k^* = a_k,$$

$$C_k F_k + D_k y_k - C_k^* F_k^* + D_k^* y_k^* = b_k,$$

$$C_k X_k + D_k y_k - C_k^* X_k^* + D_k^* y_k^* = c_k,$$

$$C_k \Gamma_k - D_k \dots + C_k^* \Gamma_k^* + D_k^* \Delta_k^* = d_k, \quad (I)$$

где

$$a_k = -2\gamma(1+\mu)(C_{2k} \sigma'_{2k} + D_{2k} \tau'_{2k}),$$

$$b_k = -\frac{2k\gamma(1+\mu)}{\sin \alpha_0} (C_{2k} \sigma_{2k} + D_{2k} \tau_{2k}),$$

$$c_k = -2\gamma(C_{2k} \rho_{2k} + D_{2k} \varrho_{2k}),$$

$$d_k = -2\gamma C_{2k} (\mu \sigma'_{2k} + \lambda \tau'_{2k}) - 2\gamma D_{2k} (\mu \tau'_{2k} - \lambda \sigma'_{2k}).$$

Здесь значения функций  $F_k, \dots, \Delta_k^*$  и  $a_k, \dots, d_k$  соответствуют углу  $\alpha = \alpha_0$ .

рассматривая (I) как систему уравнений относительно

$C_k$ ,  $D_k$ ,  $C_k^*$  и  $D_k^*$ , вычислим ее определитель:

$$\tilde{D}_k = \begin{vmatrix} F_k & -y_k & F_k^* & y_k^* \\ F_k & y_k & -F_k^* & y_k^* \\ X_k & y_k & -X_k^* & y_k^* \\ \Gamma_k & -\Delta_k & \Gamma_k^* & \Delta_k^* \end{vmatrix} = -\frac{4k(1+\mu)^2}{\sin^3 \alpha_0}.$$

Это простое выражение позволяет следующим образом выразить  $C_k$ , ...,  $D_k^*$  через  $C_{2k}$  и  $D_{2k}$ :

$$C_k = \frac{a_k + b_k}{2(1+\mu)} Q_1^k \sin \alpha_0 - \frac{kC_k + d_k \sin \alpha_0}{2k(1+\mu)} \operatorname{ctg}^k \frac{\alpha_0}{2} \sin^2 \alpha_0,$$

$$D_k = -\frac{a_k - b_k}{2(1+\mu)} P_1^k \sin \alpha_0 - \frac{kC_k - d_k \sin \alpha_0}{2k(1+\mu)} \operatorname{tg}^k \frac{\alpha_0}{2} \sin^2 \alpha_0,$$

$$C_k^* = -\frac{a_k - b_k}{4k(k^2-1)} Q_1^k \sin \alpha_0 - \frac{kC_k - d_k \sin \alpha_0}{4k^2(k^2-1)} \left[ \frac{2k}{\sin^2 \alpha_0} Q_1^k - \operatorname{ctg}^k \frac{\alpha_0}{2} \right] \sin^2 \alpha_0,$$

$$D_k^* = -\frac{a_k + b_k}{4k(k^2-1)} P_1^k \sin \alpha_0 + \frac{kC_k + d_k \sin \alpha_0}{4k^2(k^2-1)} \left[ \frac{2k}{\sin^2 \alpha_0} P_1^k - \operatorname{tg}^k \frac{\alpha_0}{2} \right] \sin^2 \alpha_0.$$

Подставляя этот результат в граничные условия для края

$\psi = \psi_1$ , получаем бесконечную систему уравнений относительно

$C_{2k}$ ,  $D_{2k}$  ( $k \geq 2$ ),  $C_{1n}$ ,  $D_{1n}$  ( $n \geq 0$ ) и  $C_1^*$ ,

$D_1^*$ ,  $C_0^*$ .

2. На ЭВМ БЭСМ-4 были проведены численные исследования оболочек при нагружении радиальной силой  $P_0$ . На рис. 2 и 3 представлены результаты расчета для оболочки с параметрами (в дальнейшем эту оболочку будем называть основной):

$$R = 150 \text{ см}, \quad \delta = 0,3 \text{ см}, \quad \alpha_0 = 6^\circ, \quad \omega_0 = 20^\circ, \quad \psi_1 = 90^\circ, \\ \mu = 0,3, \quad E = 7 \cdot 10^5 \text{ кг/см}^2.$$

На графиках через  $\tilde{\sigma}_{\alpha N}$ ,  $\tilde{\sigma}_{\beta N}$ ,  $\tilde{\sigma}_{\alpha M}$  и  $\tilde{\sigma}_{\beta M}$  обозначены безразмерные напряжения, определяемые формулами:

$$\tilde{\sigma}_{\alpha N} = \frac{N\alpha}{\sigma^0 \delta}, \quad \tilde{\sigma}_{\beta N} = \frac{N\beta}{\sigma^0 \delta}, \quad \tilde{\sigma}_{\alpha M} = \frac{6M\alpha}{\sigma^0 \delta^2}, \quad \tilde{\sigma}_{\beta M} = \frac{6M\beta}{\sigma^0 \delta^2}. \quad (2)$$

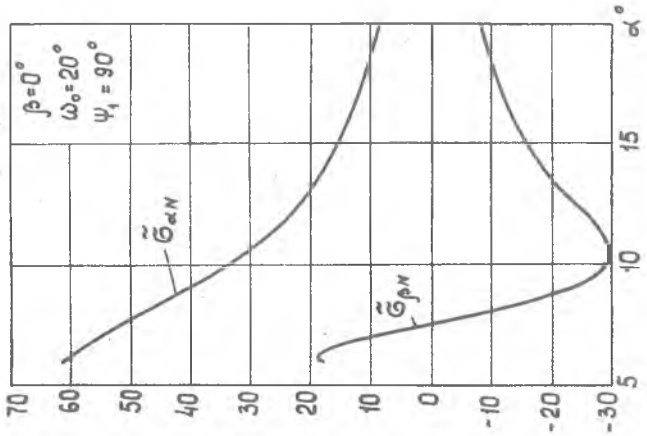


Рис. 2

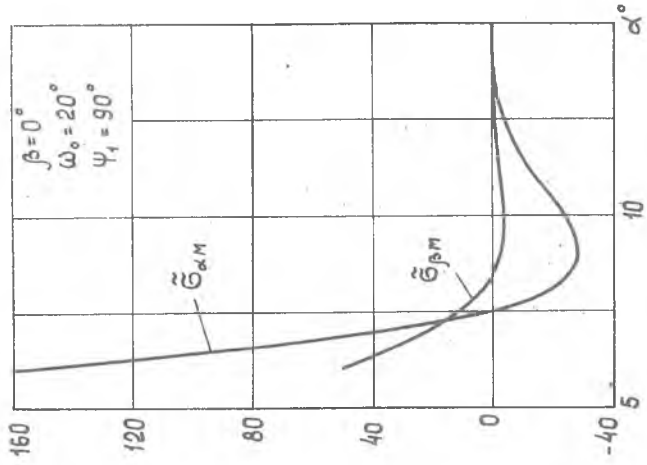


Рис. 3

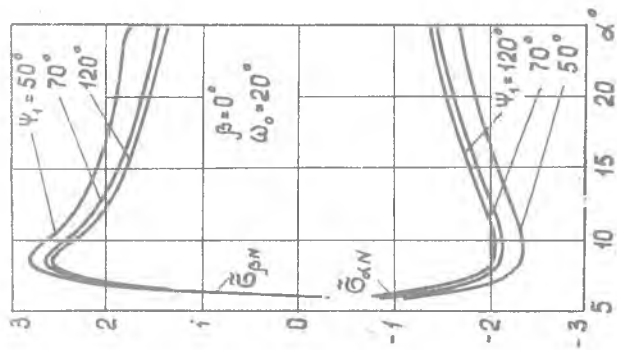


Рис. 6

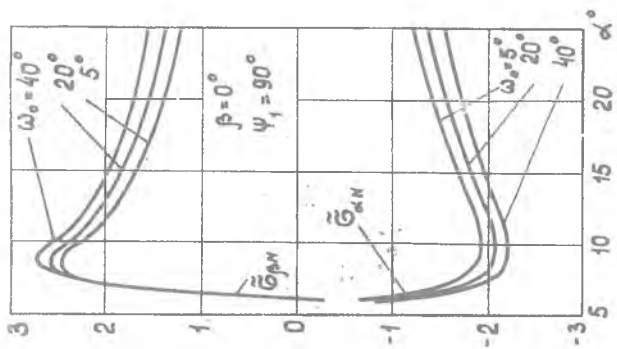


Рис. 5

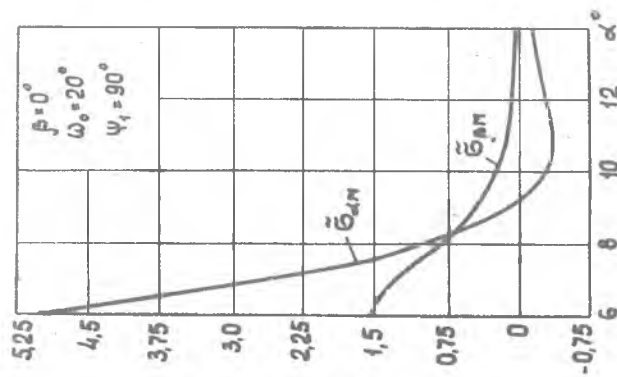


Рис. 4

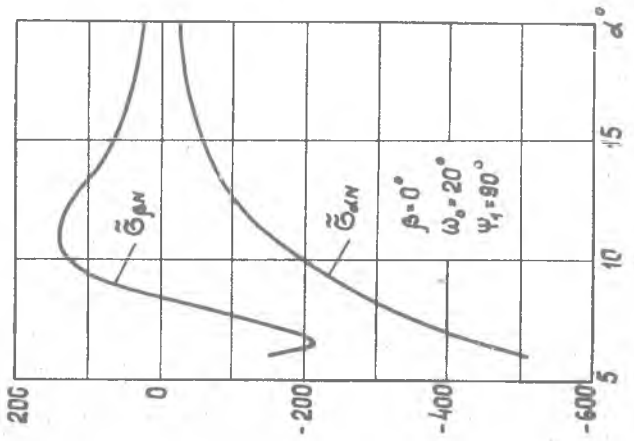


Рис. 7

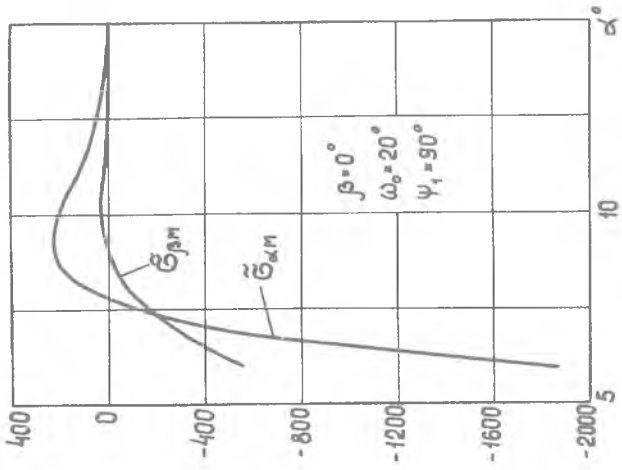


Рис. 8

Здесь  $\sigma^{\circ} = \frac{P_0}{2\pi R \delta}$ ,

$N_{\alpha}$ ,  $N_{\beta}$  - нормальные усилия;  
 $M_{\alpha}$ ,  $M_{\beta}$  - изгибающие моменты.

Анализ выполненных расчетов показал, что при нагружении оболочки радиальной силой изменение эксцентриситета  $\omega_0$  расположения шайбы от  $0^{\circ}$  до  $40^{\circ}$  и угла  $\psi_1$  от  $50^{\circ}$  до  $120^{\circ}$  практически не оказывают влияния на значения и распределение напряжений в оболочке вблизи шайбы.

3. Результаты расчета основной оболочки на действие касательной силы  $P$  показаны на рис. 4 и 5. Кривые соответствуют меридиану  $\beta = 0^{\circ}$ . Значения  $\tilde{\sigma}_{\alpha n}$ ,  $\tilde{\sigma}_{\beta n}$ ,  $\tilde{\sigma}_{\alpha m}$ ,  $\tilde{\sigma}_{\beta m}$  вычислялись по формулам (2) при

$$\sigma^{\circ} = \frac{P \cos \alpha_0}{\pi R \delta}.$$

Расчеты, проведенные для углов  $\omega_0$  от  $5^{\circ}$  до  $40^{\circ}$  и  $\psi_1$  от  $50^{\circ}$  до  $120^{\circ}$ , показали, что их изменение почти не влияет на величину и распределение изгибных напряжений  $\tilde{\sigma}_{\alpha m}$  и  $\tilde{\sigma}_{\beta m}$  в оболочке около шайбы. Что касается напряжений  $\tilde{\sigma}_{\alpha n}$  и  $\tilde{\sigma}_{\beta n}$ , то характер их распределения существенно зависит от  $\omega_0$  и  $\psi_1$  (рис. 5 и 6).

4. На рис. 7 и 8 изображены графики распределения безразмерных напряжений  $\tilde{\sigma}_{\alpha n}$ ,  $\tilde{\sigma}_{\beta n}$ ,  $\tilde{\sigma}_{\alpha m}$ ,  $\tilde{\sigma}_{\beta m}$  по основной оболочке, вычисленных по формулам (2) при

$$\sigma^{\circ} = \frac{M}{\pi R^2 \delta}.$$

Расчеты, выполненные для ряда других значений  $\omega_0$  и  $\psi_1$ , привели к результатам, практически не отличающимся от значений, полученных для основной оболочки.

## Л и т е р а т у р а

1. Ахмедзянов И.С. Расчет сферической оболочки, нагруженной через эксцентрично расположенную жесткую шайбу. Труды КуАИ, вып. 60, Куйбышев, 1973.